

DOI: 10.61818/77090405

ISSN: 2965-7709



Boletín de monitoreo climático de las principales cuencas hidrográficas: Cuenca Amazónica

Volumen 4, Numero 05

Manaus, 4 de febrero de 2026



MINISTÉRIO DA
CIÊNCIA, TECNOLOGIA
E INOVAÇÃO



Boletín de monitoreo climático de las principales cuencas hidrográficas: Cuenca Amazónica

Redactor Jefe Renato Cruz Senna
Meteorólogo
Investigador - CODAM, INPA

Publicación Renato Cruz Senna
Tainá Sampaio Xavier Conchy Rocha
Adriano Nobre Arcos

Frecuencia Semanal

Corrección y maquetación Inácio de Oliveira Lima Neto

Contacto Instituto Nacional de Pesquisas da Amazônia - INPA

Av. André Araújo, 2.936 - Petrópolis

CEP 69067-375 - Manaus -AM, Brasil

E-mail: renato.senna@inpa.gov.br

clima.amazonia@inpa.gov.br

Telefone: (92) 3643 3154 / 3643-3170

www.instagram.com/clima.amazonia



Esta investigación contó con el apoyo del Programa de Gran Escala Biosfera-Atmósfera en la Amazonía (LBA), coordinado por el Instituto Nacional de Investigaciones Amazónicas (INPA), financiado por el Ministerio de Ciencia, Tecnología e Innovación (MCTI), entidad bajo la administración directa del Gobierno Federal de Brasil.



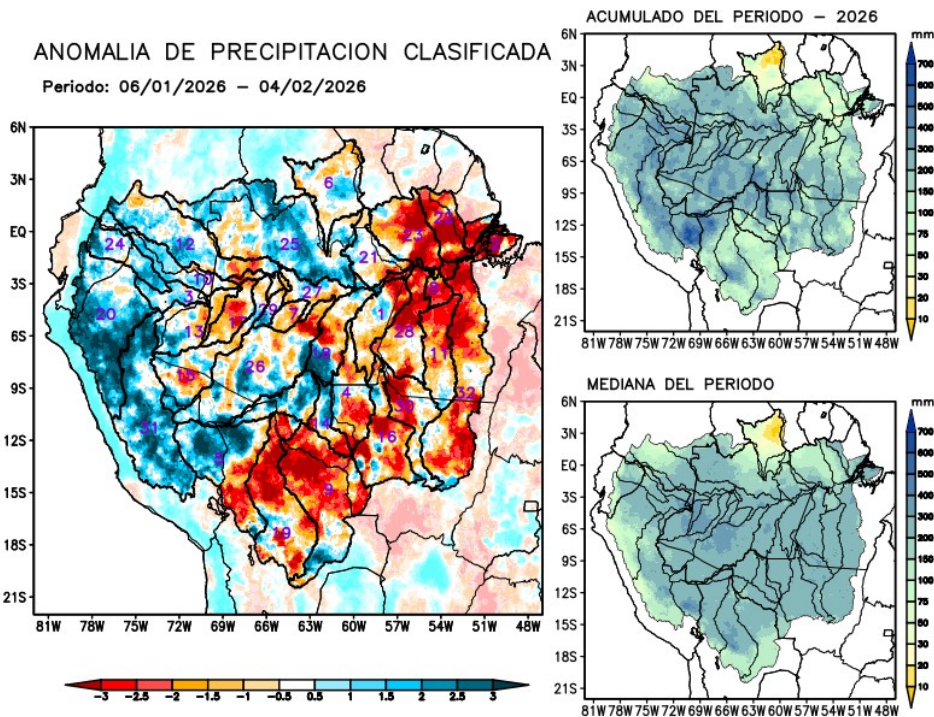
Esta obra está bajo una licencia de Creative Commons Reconocimiento - No Comercial - Sin Obra Derivada 4.0 Internacional.

Índice

Condiciones actuales	1
Cuenca del Río Branco	2
Cuenca del Río Negro	2
Cuenca del Río Marañón	2
Cuenca del Río Ucayali	3
Cuenca del Río Napo	3
Curso principal del Río Amazonas (Perú)	3
Cuenca del Río Javari	4
Cuencas de los ríos Içá y Putumayo	4
Cuenca del Río Jutaí	4
Cuenca del Río Juruá	5
Cuencas de los ríos Caquetá y Japurá	5
Cuenca del Río Tefé	5
Cuenca del Río Coari	6
Cuenca del Río Purus	6
Curso principal del Río Solimões	6
Cuenca del Río Beni	7
Cuenca del Río Mamoré	7
Cuenca del Río Guaporé	7
Cuenca del Río Ji-Paraná	8
Cuenca del Río Aripuanã	8
Cuenca del Río Madeira	8
Cuencas de la margen izquierda del Río Amazonas (Amazonas)	9
Cuenca del Río Abacaxis	9
Cuenca del Río Juruena	9
Cuenca del Río Teles Pires	10
Cuenca del Río Tapajós	10
Cuencas de la margen izquierda del Río Amazonas (noroeste do Pará)	10
Cuenca del Río Curuá Una	11
Cuencas de la margen izquierda del Río Amazonas (noreste do Pará)	11
Cuenca del Río Iri	11
Cuenca del Río Xingu	12
Curso principal del Río Amazonas (Brasil)	12
Pronóstico multimodelo subestacional	13
Valores de referencia	15
Categorización de las anomalías de precipitación	16
Comportamiento semanal de anomalías (gráficos auxiliares)	17
Diagrama unifilar de las cuencas indicadas.	20

Condiciones actuales

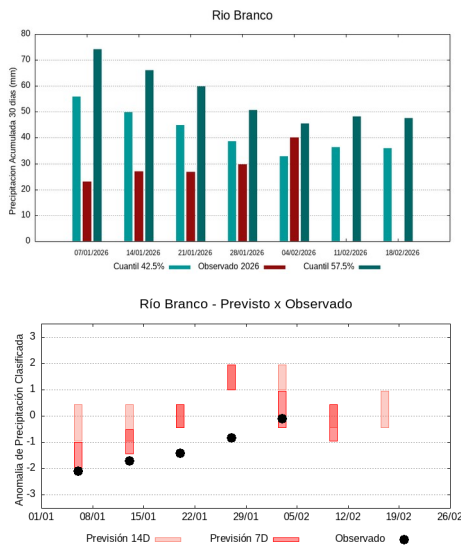
Los mapas de las condiciones de precipitación observadas y los gráficos individuales por cuenca se elaboran a partir de los datos MERGE/GPM generados por el INPE/CPTEC, tomando como climatología el periodo 2000-2025. **Entre el 6 de enero y el 4 de febrero de 2026, las precipitaciones por debajo de la media provocaron déficits de precipitación a lo largo del curso principal del río Amazonas en territorio brasileño, las cuencas hidrográficas de los ríos Abacaxis, Aripuanã, Coari, Curuá Una, Guaporé, Iriri, Juruena, Jutai, Mamoré, las cuencas de la margen izquierda del río Amazonas en el noreste y noroeste del estado de Pará, Tapajós, Teles Pires, Xingu y el curso principal del río Solimões; se registraron precipitaciones superiores a las normas climatológicas en el curso principal del río Amazonas en territorio peruano y en las cuencas de los ríos Içá, Maraion, Napo, Negro y Ucayali; se registraron precipitaciones cercanas a lo normal en las cuencas de los ríos Beni, Branco, Japurá, Javari, Ji-Paraná, Juruá y Madeira, las cuencas de la margen izquierda del río Amazonas en el noreste del estado de Amazonas, Purus y Tefé. El multimodelo indica precipitaciones por debajo de lo normal para las próximas semanas en el noreste y sur de la región monitoreada, a lo largo del curso principal del río Amazonas en territorio brasileño, las cuencas de los ríos Aripuanã, Beni, Curuá Una, Guaporé, Iriri, Ji-Paraná, Juruena, Mamoré, en la margen izquierda del río Amazonas en el noreste y noroeste del estado de Pará, y Xingu; Se pronostican precipitaciones superiores a la climatología para la cuenca del río Coari.**



1	Abacaxis	9	Guaporé	17	Jutai	25	Negro
2	Amazonas (BR)	10	Içá	18	Madeira	26	Purus
3	Amazonas (PE)	11	Iriri	19	Mamoré	27	Solimões
4	Aripuanã	12	Japurá	20	Maraion	28	Tapajós
5	Beni	13	Javari	21	Marg Esq (AM)	29	Tefé
6	Branco	14	Ji-Paraná	22	Marg Esq (PA) NE	30	Teles Pires
7	Coari	15	Juruá	23	Marg Esq (PA) NW	31	Ucayali
8	Curuá Una	16	Juruena	24	Napo	32	Xingu

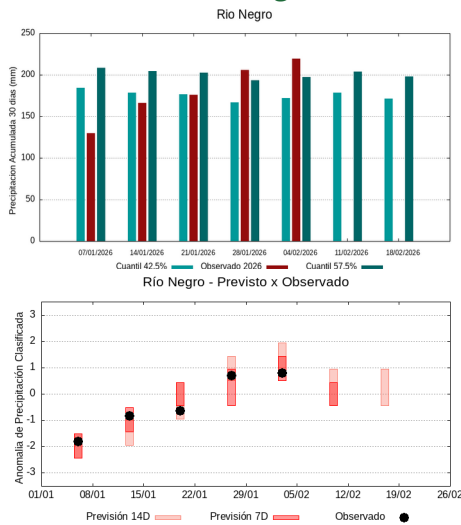
Análise individual por bacia hidrográfica

Cuenca del Río Branco



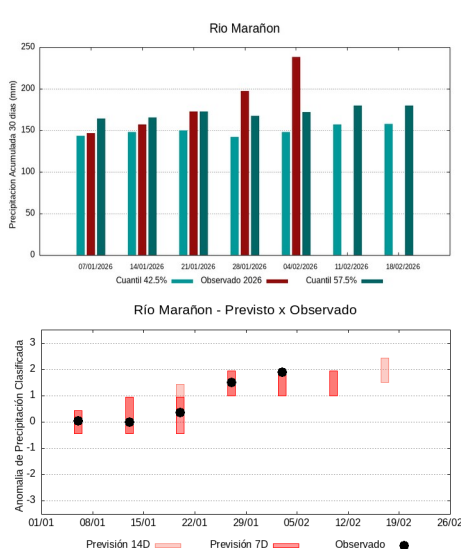
La climatología del período analizado indica precipitaciones consideradas normales con registros que varían entre **33 y 45 mm** (quantiles de referencia 42.5% y 57.5%). El **4 de febrero de 2026**, se observaron **40 mm** de la precipitación media acumulada sobre la cuenca en 30 días, el cálculo de la media del índice de anomalía categorizada en el área de la cuenca el valor de **-0.1**, lo que clasifica la cuenca en condición de **normalidad**. En las próximas semanas, el comportamiento climático indica **mantenimiento** en los volúmenes de lluvia, el modelo de pronóstico subestacional sugiere un comportamiento **cerca de la normalidad o con tendencia a ser seco**.

Cuenca del Río Negro



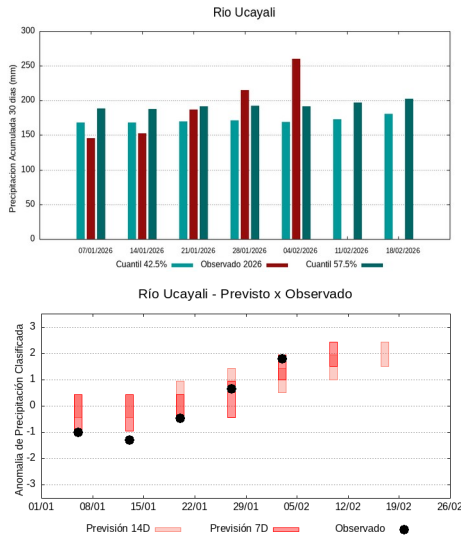
La climatología del período analizado indica precipitaciones consideradas normales con registros que varían entre **172 y 198 mm** (quantiles de referencia 42.5% y 57.5%). El **4 de febrero de 2026**, se observaron **219 mm** de la precipitación media acumulada sobre la cuenca en 30 días, el cálculo de la media del índice de anomalía categorizada en el área de la cuenca el valor de **0.8**, o que clasifica la cuenca en condición de **tendiendo a lluvioso**. En las próximas semanas, el comportamiento climático indica **mantenimiento** en los volúmenes de lluvia, el modelo de pronóstico subestacional sugiere un comportamiento **cerca de la normalidad**.

Cuenca del Río Marañón



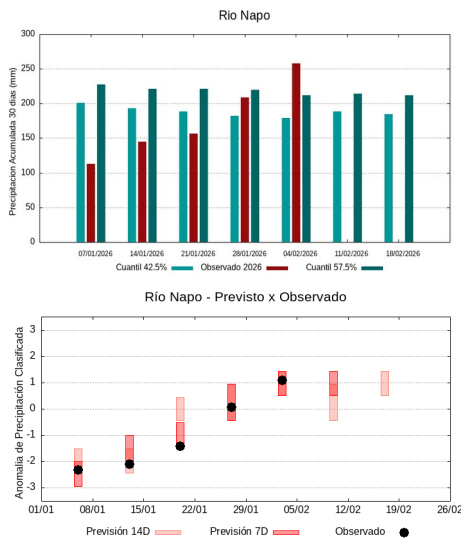
La climatología del período analizado indica precipitaciones consideradas normales con registros que varían entre **148 y 172 mm** (quantiles de referencia 42.5% y 57.5%). El **4 de febrero de 2026**, se observaron **238 mm** de la precipitación media acumulada sobre la cuenca en 30 días, el cálculo de la media del índice de anomalía categorizada en el área de la cuenca el valor de **1.8**, o que clasifica la cuenca en condición de **tendiendo a muy lluvioso**. En las próximas semanas, el comportamiento climático indica **mantenimiento** en los volúmenes de lluvia, el modelo de pronóstico subestacional sugiere un comportamiento **lluvioso o con tendencia a ser muy lluvioso**.

Cuenca del Río Ucayali



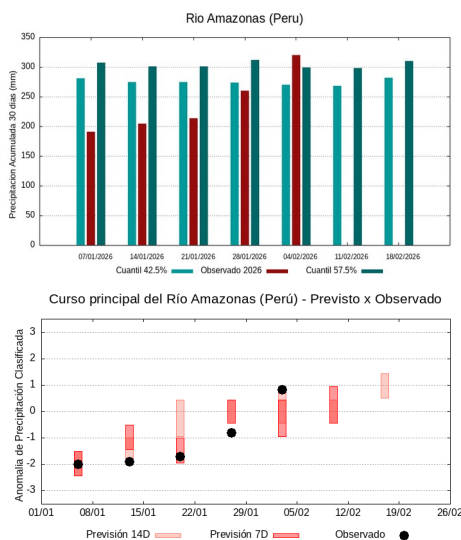
La climatología del período analizado indica precipitaciones consideradas normales con registros que varían entre **169 y 192 mm** (quantiles de referencia 42.5% y 57.5%). El **4 de febrero de 2026**, se observaron **260 mm** de la precipitación media acumulada sobre la cuenca en 30 días, el cálculo de la media del índice de anomalía categorizada en el área de la cuenca el valor de **1.7**, o que clasifica la cuenca en condición de **tendiendo a muy lluvioso**. En las próximas semanas, el comportamiento climático indica **mantenimiento** en los volúmenes de lluvia, el modelo de pronóstico subestacional sugiere un comportamiento **muy lluvioso o con tendencia a muy lluvioso**.

Cuenca del Río Napo



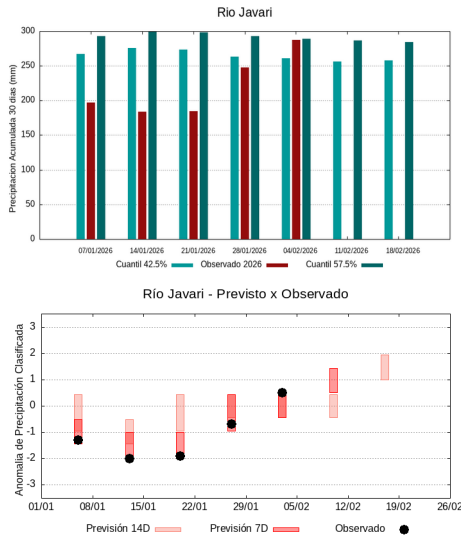
La climatología del período analizado indica precipitaciones consideradas normales con registros que varían entre **179 y 212 mm** (quantiles de referencia 42.5% y 57.5%). El **4 de febrero de 2026**, se observaron **258 mm** de la precipitación media acumulada sobre la cuenca en 30 días, el cálculo de la media del índice de anomalía categorizada en el área de la cuenca el valor de **1.1**, o que clasifica la cuenca en condición de **lluvioso**. En las próximas semanas, el comportamiento climático indica **mantenimiento** en los volúmenes de lluvia, el modelo de pronóstico subestacional sugiere un comportamiento **lluvioso o propenso a lluvioso**.

Curso principal del Río Amazonas (Perú)



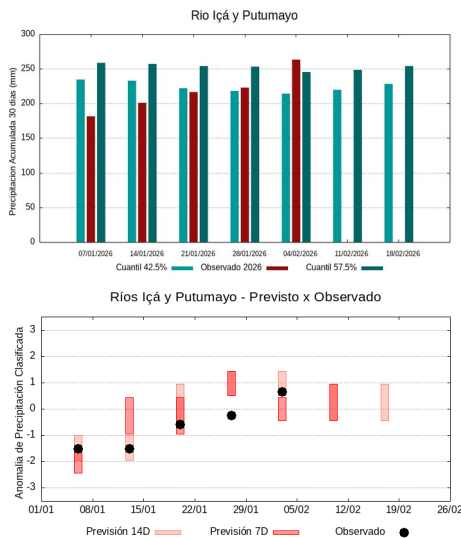
La climatología del período analizado indica precipitaciones consideradas normales con registros que varían entre **270 y 299 mm** (quantiles de referencia 42.5% y 57.5%). El **4 de febrero de 2026**, se observaron **320 mm** de la precipitación media acumulada sobre la cuenca en 30 días, el cálculo de la media del índice de anomalía categorizada en el área de la cuenca el valor de **0.7**, o que clasifica la cuenca en condición de **tendiendo a lluvioso**. En las próximas semanas, el comportamiento climático indica **mantenimiento** en los volúmenes de lluvia, el modelo de pronóstico subestacional sugiere un comportamiento **cerca de la normalidad o con tendencia a lluvioso**.

Cuenca del Río Javari



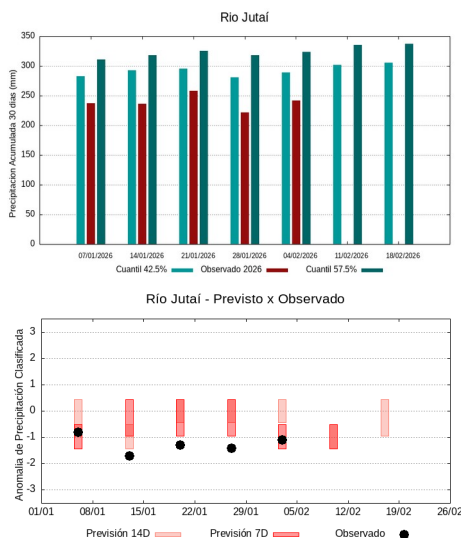
La climatología del período analizado indica precipitaciones consideradas normales con registros que varían entre **261 y 289 mm** (quantiles de referencia 42.5% y 57.5%). El **4 de febrero de 2026**, se observaron **288 mm** de la precipitación media acumulada sobre la cuenca en 30 días, el cálculo de la media del índice de anomalía categorizada en el área de la cuenca el valor de **0.3**, o que clasifica la cuenca en condición de **normalidad**. En las próximas semanas, el comportamiento climático indica **mantenimiento** en los volúmenes de lluvia, el modelo de pronóstico subestacional sugiere un comportamiento **lluvioso o propenso a lluvioso**.

Cuencas de los ríos Içá y Putumayo



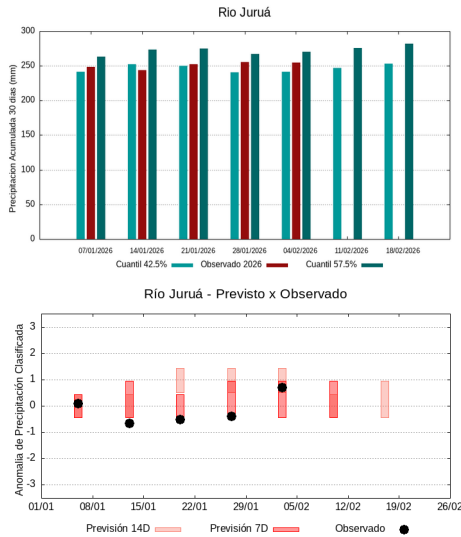
La climatología del período analizado indica precipitaciones consideradas normales con registros que varían entre **214 y 246 mm** (quantiles de referencia 42.5% y 57.5%). El **4 de febrero de 2026**, se observaron **264 mm** de la precipitación media acumulada sobre la cuenca en 30 días, el cálculo de la media del índice de anomalía categorizada en el área de la cuenca el valor de **0.6**, o que clasifica la cuenca en condición de **tendiendo a lluvioso**. En las próximas semanas, el comportamiento climático indica **mantenimiento** en los volúmenes de lluvia, el modelo de pronóstico subestacional sugiere un comportamiento **cerca de la normalidad o con tendencia a lluvioso**.

Cuenca del Río Jutai



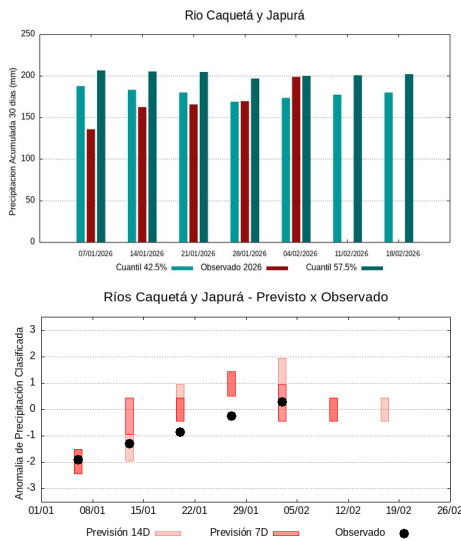
La climatología del período analizado indica precipitaciones consideradas normales con registros que varían entre **289 y 324 mm** (quantiles de referencia 42.5% y 57.5%). El **4 de febrero de 2026**, se observaron **241 mm** de la precipitación media acumulada sobre la cuenca en 30 días, el cálculo de la media del índice de anomalía categorizada en el área de la cuenca el valor de **-1.3**, o que clasifica la cuenca en condición de **seco**. En las próximas semanas, el comportamiento climático indica **mantenimiento** en los volúmenes de lluvia, el modelo de pronóstico subestacional sugiere un comportamiento **seco o con tendencia a ser seco**.

Cuenca del Río Juruá



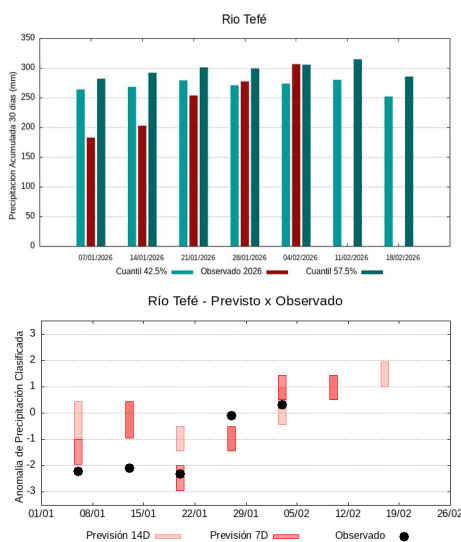
La climatología del período analizado indica precipitaciones consideradas normales con registros que varían entre **241 y 270 mm** (quantiles de referencia 42.5% y 57.5%). El **4 de febrero de 2026**, se observaron **255 mm** de la precipitación media acumulada sobre la cuenca en 30 días, el cálculo de la media del índice de anomalía categorizada en el área de la cuenca el valor de **-0.1**, o que clasifica la cuenca en condición de **normalidad**. En las próximas semanas, el comportamiento climático indica **mantenimiento** en los volúmenes de lluvia, el modelo de pronóstico subestacional sugiere un comportamiento **cerca de la normalidad o con tendencia a lluvioso**.

Cuencas de los ríos Caquetá y Japurá



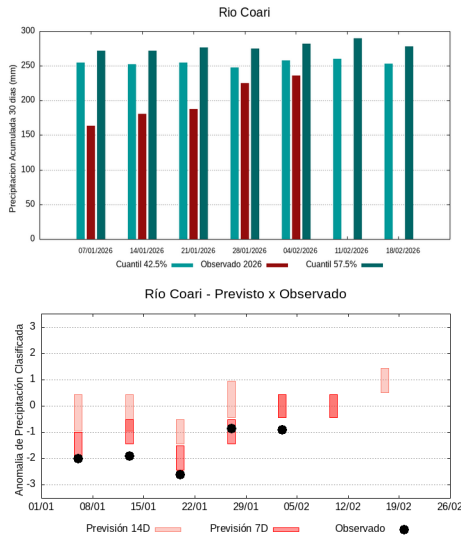
La climatología del período analizado indica precipitaciones consideradas normales con registros que varían entre **173 y 200 mm** (quantiles de referencia 42.5% y 57.5%). El **4 de febrero de 2026**, se observaron **198 mm** de la precipitación media acumulada sobre la cuenca en 30 días, el cálculo de la media del índice de anomalía categorizada en el área de la cuenca el valor de **0.3**, o que clasifica la cuenca en condición de **normalidad**. En las próximas semanas, el comportamiento climático indica **mantenimiento** en los volúmenes de lluvia, el modelo de pronóstico subestacional sugiere un comportamiento **cerca de la normalidad**.

Cuenca del Río Tefé



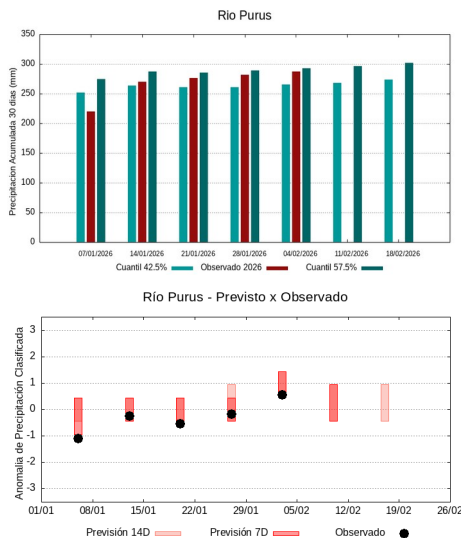
La climatología del período analizado indica precipitaciones consideradas normales con registros que varían entre **273 y 305 mm** (quantiles de referencia 42.5% y 57.5%). El **4 de febrero de 2026**, se observaron **306 mm** de la precipitación media acumulada sobre la cuenca en 30 días, el cálculo de la media del índice de anomalía categorizada en el área de la cuenca el valor de **0.4**, o que clasifica la cuenca en condición de **normalidad**. En las próximas semanas, el comportamiento climático indica **mantenimiento** en los volúmenes de lluvia, el modelo de pronóstico subestacional sugiere un comportamiento **lluvioso o propenso a lluvioso**.

Cuenca del Río Coari



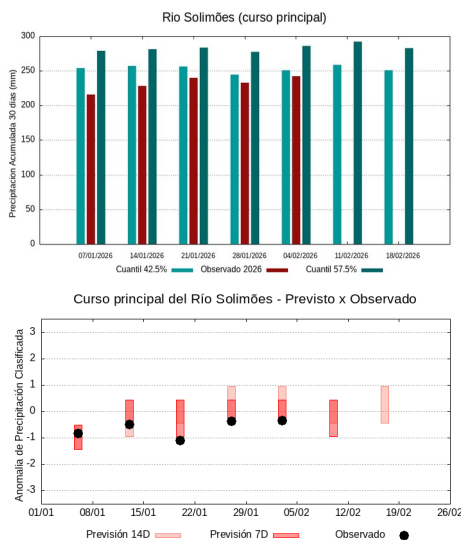
La climatología del período analizado indica precipitaciones consideradas normales con registros que varían entre **258 y 282 mm** (quantiles de referencia 42.5% y 57.5%). El **4 de febrero de 2026**, se observaron **236 mm** de la precipitación media acumulada sobre la cuenca en 30 días, el cálculo de la media del índice de anomalía categorizada en el área de la cuenca el valor de **-1.0**, o que clasifica la cuenca en condición de **seco**. En las próximas semanas, el comportamiento climático indica **mantenimiento** en los volúmenes de lluvia, el modelo de pronóstico subestacional sugiere un comportamiento **cerca de la normalidad**.

Cuenca del Río Purus



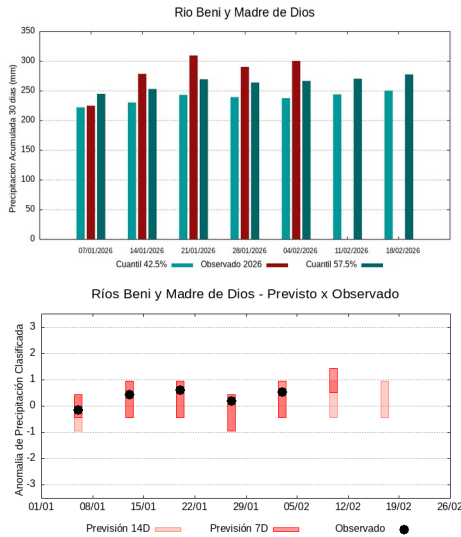
La climatología del período analizado indica precipitaciones consideradas normales con registros que varían entre **265 y 292 mm** (quantiles de referencia 42.5% y 57.5%). El **4 de febrero de 2026**, se observaron **287 mm** de la precipitación media acumulada sobre la cuenca en 30 días, el cálculo de la media del índice de anomalía categorizada en el área de la cuenca el valor de **0.1**, o que clasifica la cuenca en condición de **normalidad**. En las próximas semanas, el comportamiento climático indica **mantenimiento** en los volúmenes de lluvia, el modelo de pronóstico subestacional sugiere un comportamiento **cerca de la normalidad o con tendencia a lluvioso**.

Curso principal del Río Solimões



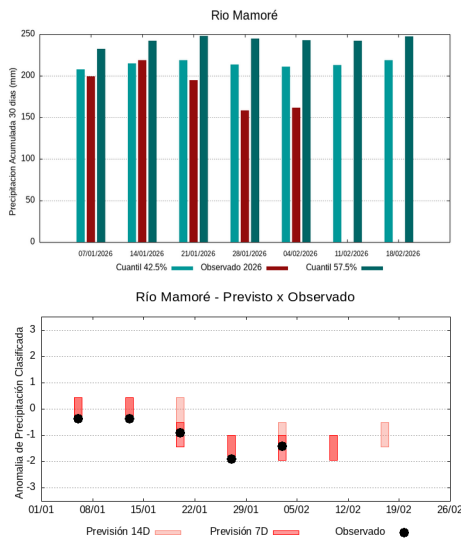
La climatología del período analizado indica precipitaciones consideradas normales con registros que varían entre **251 y 286 mm** (quantiles de referencia 42.5% y 57.5%). El **4 de febrero de 2026**, se observaron **242 mm** de la precipitación media acumulada sobre la cuenca en 30 días, el cálculo de la media del índice de anomalía categorizada en el área de la cuenca el valor de **-0.5**, o que clasifica la cuenca en condición de **tendiendo a seco**. En las próximas semanas, el comportamiento climático indica **mantenimiento** en los volúmenes de lluvia, el modelo de pronóstico subestacional sugiere un comportamiento **cerca de la normalidad o con tendencia a ser seco**.

Cuencas de los ríos Beni y Madre de Dios



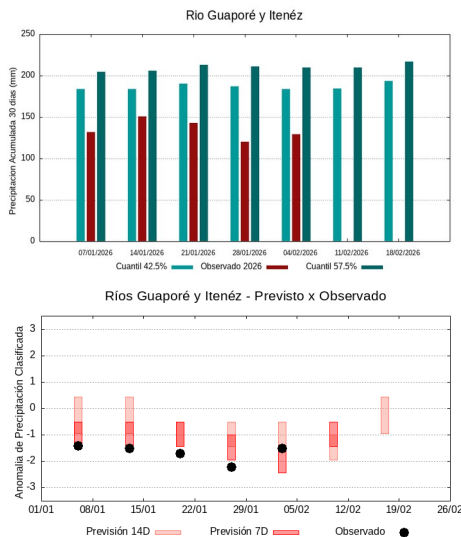
La climatología del período analizado indica precipitaciones consideradas normales con registros que varían entre **237 y 266 mm** (quantiles de referencia 42.5% y 57.5%). El **4 de febrero de 2026**, se observaron **300 mm** de la precipitación media acumulada sobre la cuenca en 30 días, el cálculo de la media del índice de anomalía categorizada en el área de la cuenca el valor de **0.4**, o que clasifica la cuenca en condición de **normalidad**. En las próximas semanas, el comportamiento climático indica **mantenimiento** en los volúmenes de lluvia, el modelo de pronóstico subestacional sugiere un comportamiento **lluvioso o propenso a lluvioso**.

Cuenca del Río Mamoré



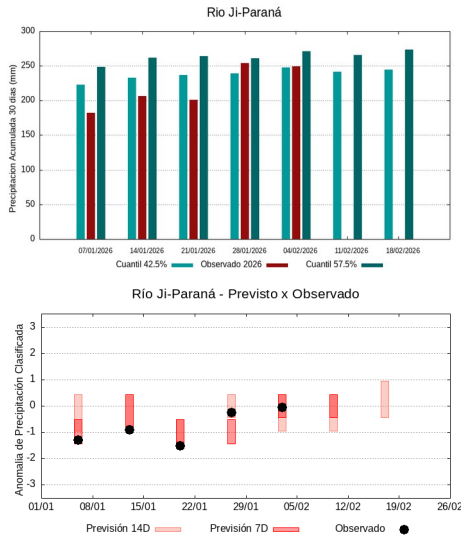
La climatología del período analizado indica precipitaciones consideradas normales con registros que varían entre **211 y 243 mm** (quantiles de referencia 42.5% y 57.5%). El **4 de febrero de 2026**, se observaron **162 mm** de la precipitación media acumulada sobre la cuenca en 30 días, el cálculo de la media del índice de anomalía categorizada en el área de la cuenca el valor de **-1.5**, o que clasifica la cuenca en condición de **tendiendo a muy seco**. En las próximas semanas, el comportamiento climático indica **mantenimiento** en los volúmenes de lluvia, el modelo de pronóstico subestacional sugiere un comportamiento **seco o con tendencia a ser muy seco**.

Cuenca de los ríos Guaporé y Iténez



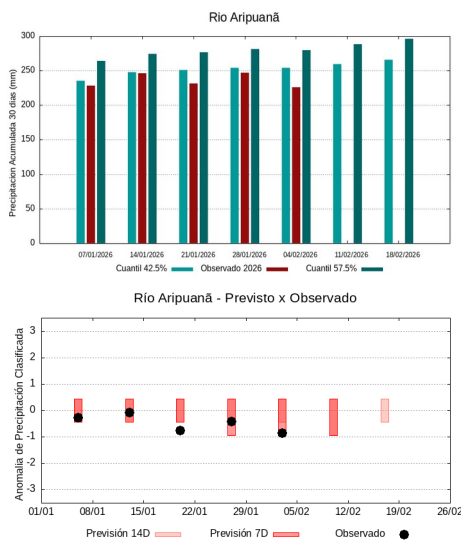
La climatología del período analizado indica precipitaciones consideradas normales con registros que varían entre **184 y 210 mm** (quantiles de referencia 42.5% y 57.5%). El **4 de febrero de 2026**, se observaron **129 mm** de la precipitación media acumulada sobre la cuenca en 30 días, el cálculo de la media del índice de anomalía categorizada en el área de la cuenca el valor de **-1.6**, o que clasifica la cuenca en condición de **tendiendo a muy seco**. En las próximas semanas, el comportamiento climático indica **mantenimiento** en los volúmenes de lluvia, el modelo de pronóstico subestacional sugiere un comportamiento **seco o con tendencia a ser seco**.

Cuenca del Río Ji-Paraná



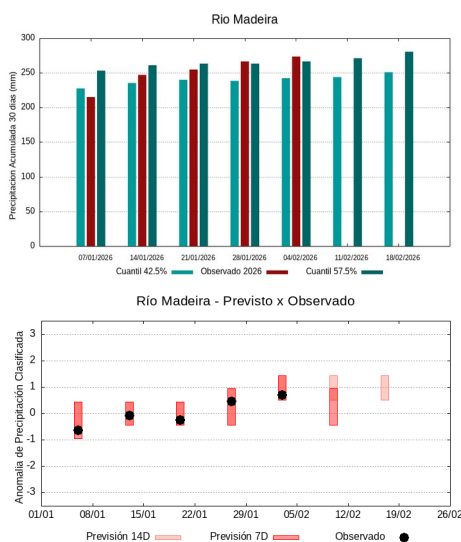
La climatología del período analizado indica precipitaciones consideradas normales con registros que varían entre **248 y 271 mm** (quantiles de referencia 42.5% y 57.5%). El **4 de febrero de 2026**, se observaron **249 mm** de la precipitación media acumulada sobre la cuenca en 30 días, el cálculo de la media del índice de anomalía categorizada en el área de la cuenca el valor de **-0.1**, o que clasifica la cuenca en condición de **normalidad**. En las próximas semanas, el comportamiento climático indica **mantenimiento** en los volúmenes de lluvia, el modelo de pronóstico subestacional sugiere un comportamiento **cerca de la normalidad**.

Cuenca del Río Aripuanã



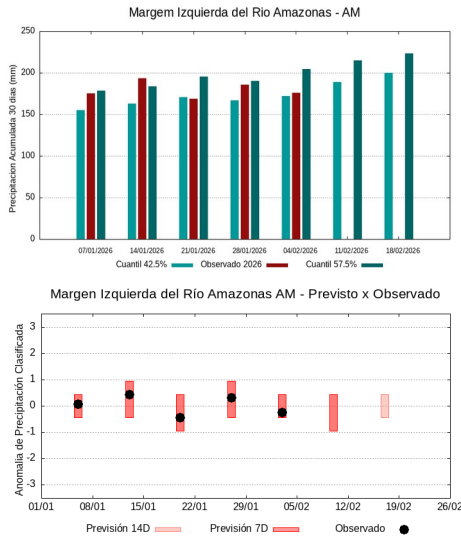
La climatología del período analizado indica precipitaciones consideradas normales con registros que varían entre **254 y 280 mm** (quantiles de referencia 42.5% y 57.5%). El **4 de febrero de 2026**, se observaron **226 mm** de la precipitación media acumulada sobre la cuenca en 30 días, el cálculo de la media del índice de anomalía categorizada en el área de la cuenca el valor de **-1.0**, o que clasifica la cuenca en condición de **seco**. En las próximas semanas, el comportamiento climático indica **mantenimiento** en los volúmenes de lluvia, el modelo de pronóstico subestacional sugiere un comportamiento **cerca de la normalidad o con tendencia a ser seco**.

Cuenca del Río Madeira



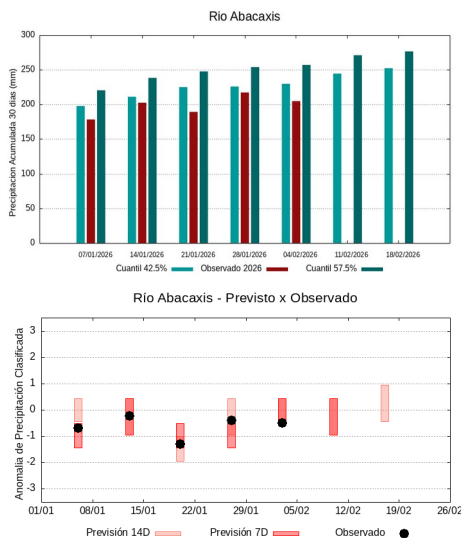
La climatología del período analizado indica precipitaciones consideradas normales con registros que varían entre **242 y 267 mm** (quantiles de referencia 42.5% y 57.5%). El **4 de febrero de 2026**, se observaron **273 mm** de la precipitación media acumulada sobre la cuenca en 30 días, el cálculo de la media del índice de anomalía categorizada en el área de la cuenca el valor de **0.4**, o que clasifica la cuenca en condición de **normalidad**. En las próximas semanas, el comportamiento climático indica **mantenimiento** en los volúmenes de lluvia, el modelo de pronóstico subestacional sugiere un comportamiento **cerca de la normalidad o con tendencia a lluvioso**.

Cuencas de la margen izquierda del Río Amazonas (Amazonas)



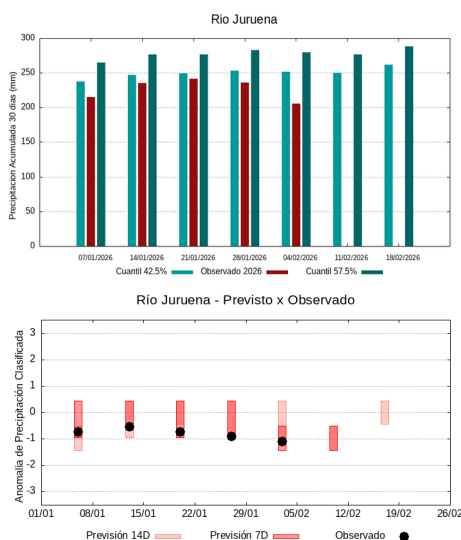
La climatología del período analizado indica precipitaciones consideradas normales con registros que varían entre **172 y 205 mm** (quantiles de referencia 42.5% y 57.5%). El **4 de febrero de 2026**, se observaron **176 mm** de la precipitación media acumulada sobre la cuenca en 30 días, el cálculo de la media del índice de anomalía categorizada en el área de la cuenca el valor de **-0.2**, o que clasifica la cuenca en condición de **normalidad**. En las próximas semanas, el comportamiento climático indica **elevación** en los volúmenes de lluvia, el modelo de pronóstico subestacional sugiere un comportamiento **cerca de la normalidad o con tendencia a ser seco**.

Cuenca del Río Abacaxis



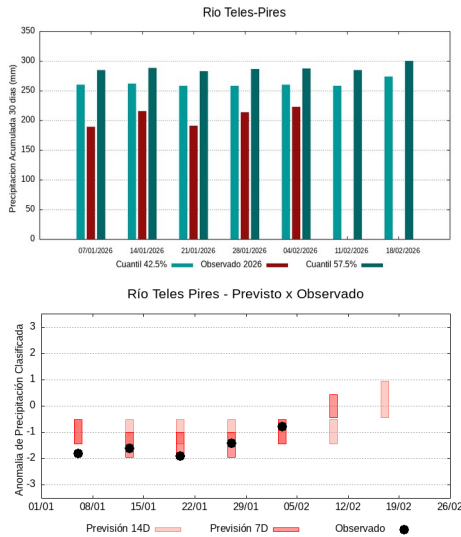
La climatología del período analizado indica precipitaciones consideradas normales con registros que varían entre **230 y 257 mm** (quantiles de referencia 42.5% y 57.5%). El **4 de febrero de 2026**, se observaron **205 mm** de la precipitación media acumulada sobre la cuenca en 30 días, el cálculo de la media del índice de anomalía categorizada en el área de la cuenca el valor de **-0.9**, o que clasifica la cuenca en condición de **seco**. En las próximas semanas, el comportamiento climático indica **mantenimiento** en los volúmenes de lluvia, el modelo de pronóstico subestacional sugiere un comportamiento **cerca de la normalidad o con tendencia a ser seco**.

Cuenca del Río Juruena



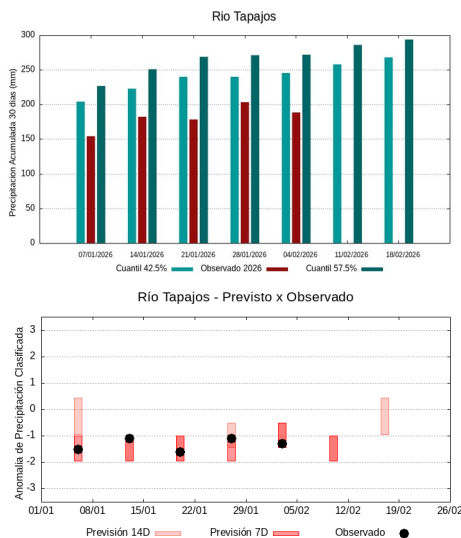
La climatología del período analizado indica precipitaciones consideradas normales con registros que varían entre **252 y 280 mm** (quantiles de referencia 42.5% y 57.5%). El **4 de febrero de 2026**, se observaron **206 mm** de la precipitación media acumulada sobre la cuenca en 30 días, el cálculo de la media del índice de anomalía categorizada en el área de la cuenca el valor de **-1.3**, o que clasifica la cuenca en condición de **seco**. En las próximas semanas, el comportamiento climático indica **mantenimiento** en los volúmenes de lluvia, el modelo de pronóstico subestacional sugiere un comportamiento **seco o con tendencia a ser seco**.

Cuenca del Río Teles Pires



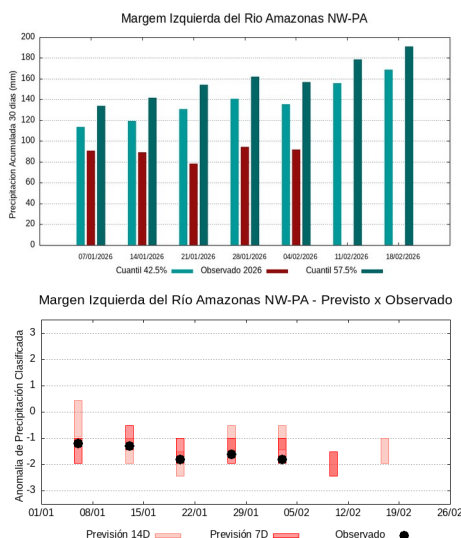
La climatología del período analizado indica precipitaciones consideradas normales con registros que varían entre **260 y 287 mm** (cuantiles de referencia 42.5% y 57.5%). El **4 de febrero de 2026**, se observaron **222 mm** de la precipitación media acumulada sobre la cuenca en 30 días, el cálculo de la media del índice de anomalía categorizada en el área de la cuenca el valor de **-1.1**, o que clasifica la cuenca en condición de **seco**. En las próximas semanas, el comportamiento climático indica **mantenimiento** en los volúmenes de lluvia, el modelo de pronóstico subestacional sugiere un comportamiento **cerca de la normalidad**.

Cuenca del Río Tapajós



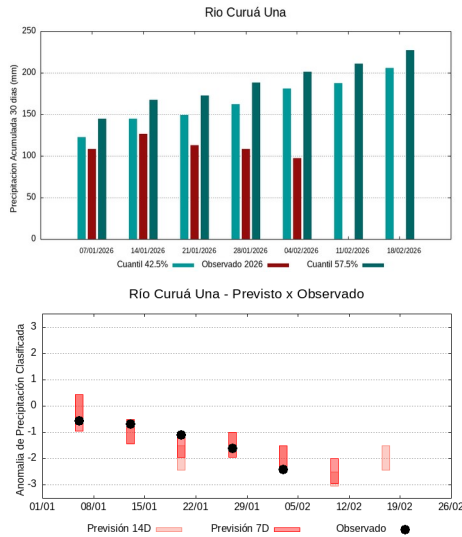
La climatología del período analizado indica precipitaciones consideradas normales con registros que varían entre **246 y 272 mm** (cuantiles de referencia 42.5% y 57.5%). El **4 de febrero de 2026**, se observaron **189 mm** de la precipitación media acumulada sobre la cuenca en 30 días, el cálculo de la media del índice de anomalía categorizada en el área de la cuenca el valor de **-1.6**, o que clasifica la cuenca en condición de **tendiendo a muy seco**. En las próximas semanas, el comportamiento climático indica **elevación** en los volúmenes de lluvia, el modelo de pronóstico subestacional sugiere un comportamiento **seco o con tendencia a ser muy seco**.

Cuencas de la margen izquierda del Río Amazonas (noroeste do Pará)



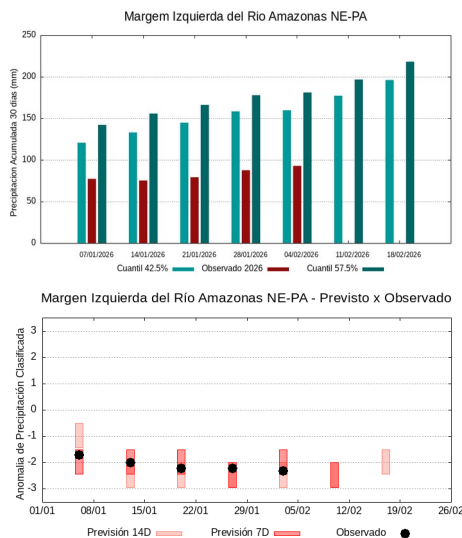
La climatología del período analizado indica precipitaciones consideradas normales con registros que varían entre **136 y 157 mm** (cuantiles de referencia 42.5% y 57.5%). El **4 de febrero de 2026**, se observaron **92 mm** de la precipitación media acumulada sobre la cuenca en 30 días, el cálculo de la media del índice de anomalía categorizada en el área de la cuenca el valor de **-1.8**, o que clasifica la cuenca en condición de **tendiendo a muy seco**. En las próximas semanas, el comportamiento climático indica **elevación** en los volúmenes de lluvia, el modelo de pronóstico subestacional sugiere un comportamiento **muy seco o con tendencia a ser muy seco**.

Cuenca del Río Curuá Una



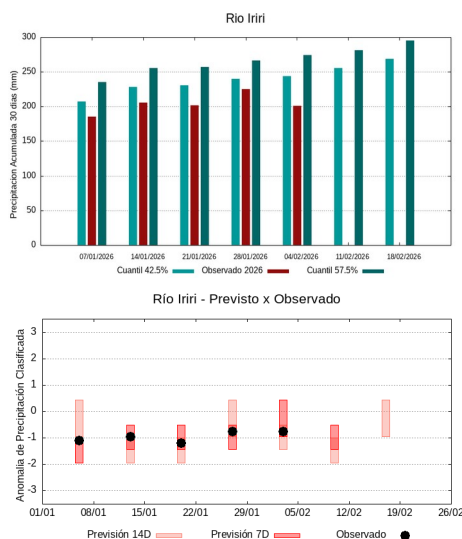
La climatología del período analizado indica precipitaciones consideradas normales con registros que varían entre **181 y 201 mm** (quantiles de referencia 42.5% y 57.5%). El **4 de febrero de 2026**, se observaron **98 mm** de la precipitación media acumulada sobre la cuenca en 30 días, el cálculo de la media del índice de anomalía categorizada en el área de la cuenca el valor de **-2.3**, o que clasifica la cuenca en condición de **muy seco**. En las próximas semanas, el comportamiento climático indica **elevación** en los volúmenes de lluvia, el modelo de pronóstico subestacional sugiere un comportamiento **muy seco o con tendencia a ser extremadamente seco**.

Cuencas de la margen izquierda del Río Amazonas (noreste do PA)



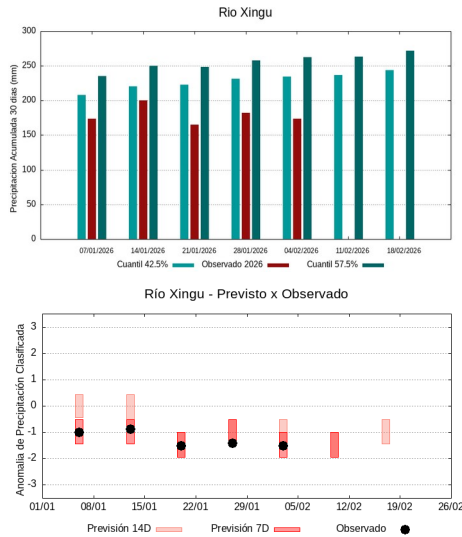
La climatología del período analizado indica precipitaciones consideradas normales con registros que varían entre **160 y 181 mm** (quantiles de referencia 42.5% y 57.5%). El **4 de febrero de 2026**, se observaron **93 mm** de la precipitación media acumulada sobre la cuenca en 30 días, el cálculo de la media del índice de anomalía categorizada en el área de la cuenca el valor de **-2.4**, o que clasifica la cuenca en condición de **muy seco**. En las próximas semanas, el comportamiento climático indica **elevación** en los volúmenes de lluvia, el modelo de pronóstico subestacional sugiere un comportamiento **muy seco o con tendencia a ser muy seco**.

Cuenca del Río Iriri



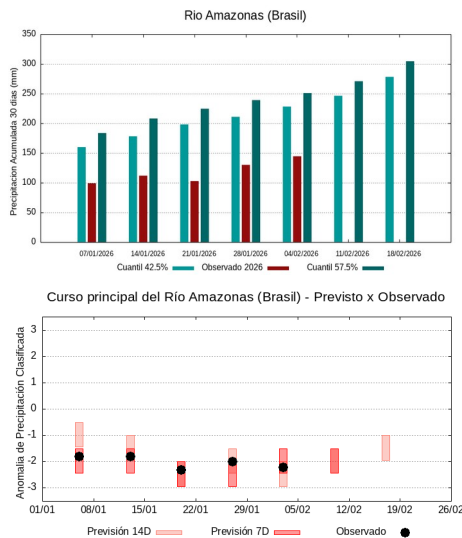
La climatología del período analizado indica precipitaciones consideradas normales con registros que varían entre **244 y 274 mm** (quantiles de referencia 42.5% y 57.5%). El **4 de febrero de 2026**, se observaron **201 mm** de la precipitación media acumulada sobre la cuenca en 30 días, el cálculo de la media del índice de anomalía categorizada en el área de la cuenca el valor de **-1.4**, o que clasifica la cuenca en condición de **seco**. En las próximas semanas, el comportamiento climático indica **elevación** en los volúmenes de lluvia, el modelo de pronóstico subestacional sugiere un comportamiento **seco o con tendencia a ser seco**.

Cuenca del Río Xingu



La climatología del período analizado indica precipitaciones consideradas normales con registros que varían entre **234 y 263 mm** (quantiles de referencia 42.5% y 57.5%). El **4 de febrero de 2026**, se observaron **174 mm** de la precipitación media acumulada sobre la cuenca en 30 días, el cálculo de la media del índice de anomalía categorizada en el área de la cuenca el valor de **-1.7**, o que clasifica la cuenca en condición de **tendiendo a muy seco**. En las próximas semanas, el comportamiento climático indica **mantenimiento** en los volúmenes de lluvia, el modelo de pronóstico subestacional sugiere un comportamiento **seco o con tendencia a ser muy seco**.

Curso principal del Río Amazonas (Brasil)

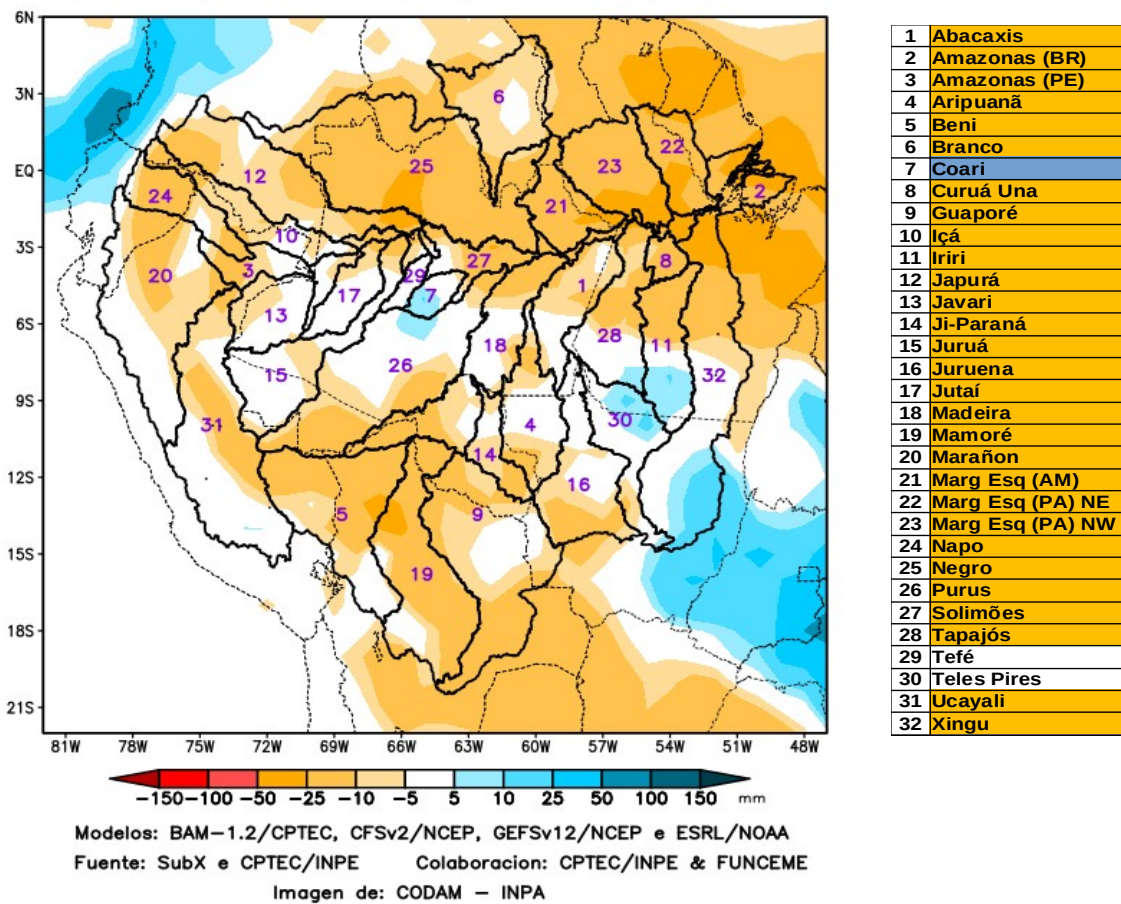


La climatología del período analizado indica precipitaciones consideradas normales con registros que varían entre **229 y 251 mm** (quantiles de referencia 42.5% y 57.5%). El **4 de febrero de 2026**, se observaron **144 mm** de la precipitación media acumulada sobre la cuenca en 30 días, el cálculo de la media del índice de anomalía categorizada en el área de la cuenca el valor de **-2.2**, o que clasifica la cuenca en condición de **muy seco**. En las próximas semanas, el comportamiento climático indica **elevación** en los volúmenes de lluvia, el modelo de pronóstico subestacional sugiere un comportamiento **muy seco o con tendencia a ser muy seco**.

Pronóstico multimodelo subestacional CPTEC/INPE-FUNCEME elaborada el 03/02/2026 para los próximos 7 y 14 días.

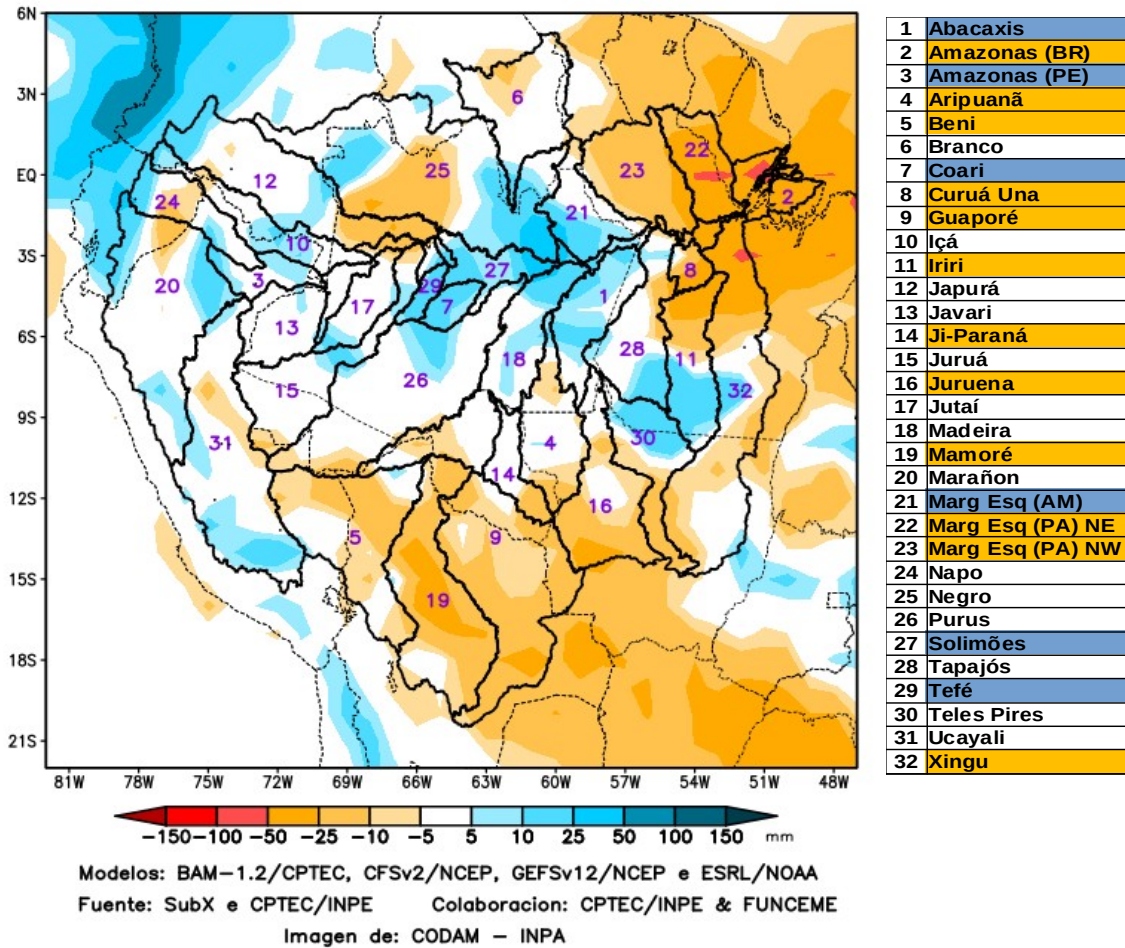
El pronóstico multimodelo subestacional calibrado CPTEC/INPE-FUNCEME se genera a través de la cooperación científica entre CPTEC/INPE y FUNCEME, y proviene del conjunto de 4 modelos globales (un modelo brasileño, el BAM-1.2/CPTEC, y tres modelos del USA, CFSv2/NCEP, GEFSv12/NCEP y ESRL/NOAA, estos tres últimos del proyecto SubX). Las anomalías de precipitación previstas se determinan en relación al período climatológico de 1999 a 2016. A continuación se presentan los resultados para el intervalo de pronóstico de 07 y 14 días, detallando el comportamiento previsto sobre las cuencas de interés.

PRONOSTICO MULTIMODELO SUBESTACIONAL CALIBRADO
Anomalia Pluviometrica Acumulada (mm)
(07 Dias) Periodo: 04/02/2026 – 10/02/2026



La figura de arriba muestra el pronóstico para el intervalo de 7 días entre el 04/02/2026 y el 10/02/2026, pronóstico de déficit de precipitaciones (naranja) en casi toda la cuenca monitoreada. Pronóstico de anomalías positivas de precipitaciones (azul) en la cuenca del río Coari. Pronóstico de precipitaciones cercanas a la climatología (blanco) en las cuencas de los ríos Tefé y Teles Pires.

PRONOSTICO MULTIMODELO SUBESTACIONAL CALIBRAD
 Anomalia Pluviométrica Acumulada (mm)
 (14 Dias) Período: 04/02/2026 – 17/02/2026



La figura de arriba muestra el pronóstico para el intervalo de 14 días entre el 04/02/2026 y el 17/02/2026, previsión de predominio de déficit de precipitaciones (naranja) en el curso principal del río Amazonas en territorio brasileño, las cuencas de los ríos Aripuanã, Beni, Curuá Una, Guaporé, Iriri, Ji-Paraná, Juruena y Mamoré, las cuencas de la margen izquierda del río Amazonas en el noreste y noroeste del estado de Pará, y el Xingu. Previsión de anomalías positivas en las precipitaciones (azul) sobre el curso principal del río Amazonas en territorio peruano, las cuencas de los ríos Abacaxis y Coari, las cuencas de la margen izquierda del río Amazonas en el noreste del estado de Amazonas, Tefé y el curso principal del río Solimões. Previsión de precipitaciones cercanas a la climatología (blanco) sobre las demás cuencas monitoreadas.

Valores de referencia de las precipitaciones acumuladas durante 30 días en la fecha del análisis.

La Tabla 1 muestra los valores medios de precipitación acumulada (mm de lluvia) por cuenca, basados en estimaciones de precipitación mediante imágenes de satélite, producto denominado MERGE/GPM, puesto a disposición por el Instituto Nacional de Investigaciones Espaciales, para el periodo 2000 - 2025, teniendo en cuenta los límites geográficos de las cuencas hidrológicas de la Amazonia, se utilizó la técnica de cuantiles, por ser una herramienta adecuada y precisa para categorizar la precipitación y las anomalías de variables discretas. Se adoptaron los siguientes umbrales: 5%, 12,5%, 20%, 27,5%, 35%, 42,5%, 57,5%, 65%, 72,5%, 80%, 87,5% y 95%, con el fin de estratificar la técnica y permitir una categorización más detallada de las condiciones de cada cuenca monitoreada.

04/02/2026	Cuantiles para clasificar las anomalías de precipitación											
	5.0%	12.5%	20.0%	27.5%	35.0%	42.5%	57.5%	65.0%	72.5%	80.0%	87.5%	95.0%
Abacaxis	102	152	176	196	213	230	257	277	298	322	356	403
Amazonas (BR)	128	159	180	197	213	229	251	269	288	310	342	396
Amazonas (PE)	149	187	213	233	251	270	299	323	347	378	421	499
Aripuanã	134	175	201	220	237	254	280	298	318	342	375	429
Beni	138	167	187	204	220	237	266	288	313	343	380	446
Branco	5	10	16	21	26	33	45	58	77	100	130	178
Coari	155	178	200	220	240	258	282	298	317	338	370	425
Curuá Una	80	104	127	147	166	181	201	219	240	260	283	322
Guaporé	86	113	134	151	168	184	210	228	249	274	309	361
Içá	103	134	161	181	197	214	246	270	298	331	368	422
Iriri	125	161	186	206	225	244	274	295	319	348	386	444
Japurá	67	95	119	140	157	173	200	219	239	263	293	343
Javari	134	168	195	217	240	261	289	309	331	358	390	446
Ji-Paraná	123	159	185	208	229	248	271	288	305	325	359	418
Juruá	132	161	186	205	223	241	270	290	313	340	373	426
Juruena	139	170	192	211	231	252	280	298	318	342	371	420
Jutaí	169	199	223	245	268	289	324	346	375	405	440	491
Madeira	132	164	186	206	224	242	267	283	300	322	349	393
Mamoré	113	138	157	174	193	211	243	267	293	324	365	436
Marañon	59	82	99	115	131	148	172	189	207	228	260	309
Marg Esq (AM)	60	84	107	126	146	172	205	223	244	263	287	327
Marg Esq (PA) NE	83	103	120	135	148	160	181	199	215	235	264	306
Marg Esq (PA) NW	64	81	95	109	122	136	157	173	195	221	250	298
Napo	70	100	121	141	159	179	212	235	261	292	339	412
Negro	63	93	117	137	154	172	198	215	235	261	298	358
Purus	156	186	208	228	247	265	292	311	333	357	388	439
Solimões	128	164	188	210	231	251	286	311	338	364	397	447
Tapajós	133	163	185	206	226	246	272	292	314	339	367	419
Tefé	155	184	206	226	247	273	305	324	345	372	400	455
Teles Pires	148	183	207	226	243	260	287	305	326	351	388	442
Ucayali	86	109	126	141	155	169	192	208	227	250	278	331
Xingu	119	154	179	199	217	234	263	283	305	331	365	430

Tabla 1. Cuantiles de precipitaciones acumuladas (mm) en 30 días (6 de enero a 4 de febrero), Climatología para el período (2000 - 2025) datos MERGE/GPM – INPE/CPTEC.

Categorización das anomalias de precipitação

Utilizando los valores de la tabla anterior, es posible categorizar la precipitación observada en el año en curso en relación con los valores observados en registros anteriores desde el inicio de la serie disponible, de modo que los valores observados sean menores al cuantil 5. % caracteriza la cuenca en condición extremadamente seco, entre 5 y 12,5% en condición que tiende a ser extremadamente seco, entre 12,5 y 20% en condición muy seco, entre 20 y 27,5% en condición que tiende a ser muy seco, entre 27.5 y 35% en condición seco, entre 35 y 42.5 tiende a ser seco, valores entre 42.5 y 57.5 definen la condición normal, valores entre 57.5 y 65% tienden a ser lluvioso, entre un 65 y un 72,5% son lluvioso, entre un 72,5 y un 80% tienden a ser muy lluvioso, entre un 80 y un 87,5 son muy lluvioso, entre un 87,5 y un 95% indican tendencia a extremadamente lluvioso y finalmente, valores superiores al 95% definen la cuenca en condiciones extremadamente lluvioso, según el título a continuación.

CUANTIL	5.0%	12.5%	20.0%	27.5%	35.0%	42.5%		57.5%	65.0%	72.5%	80.0%	87.5%	95.0%
	-3.0	-2.5	-2.0	-1.5	-1.0	-0.5	0.0	0.5	1.0	1.5	2.0	2.5	3.0
CATEGORÍA	EXTREMADAMENTE SECO	TENDENCIA A EXTREMADAMENTE SECO	MUY SECO	TENDENCIA A MUY SECO	SECO	TENDENCIA A SECO	NORMAL	TENDENCIA A LLUVIOSO	LLUVIOSO	TENDENCIA A MUY LLUVIOSO	MUY LLUVIOSO	TENDENCIA A EXTREMADAMENTE LLUVIOSO	EXTREMADAMENTE LLUVIOSO

Las tablas a continuación muestran (Tabla 2A) la precipitación promedio observada (mm) en cada cuenca, tomando como referencia las estimaciones de precipitación por satélite mediante la técnica MERGE, disponible en <http://ftp.cptec.inpe.br/modelos/tempo/MERGE/GPM/DAILY/> acumulado en 30 días en las fechas indicadas, se estimaron los valores promedio de las anomalías categorizadas (Tabla 2B) con base en el valor de anomalía de cada píxel en el área de la cuenca monitoreada, calculado según la metodología descrita en el ítem anterior, en las mismas fechas de monitoreo de precipitaciones, la escala de colores de las anomalías sigue la leyenda descrita.

	Precipitaciones medias acumuladas en la cuenca (mm)				
	07/01/2026	14/01/2026	21/01/2026	28/01/2026	04/02/2026
Abacaxis	178	202	189	217	205
Amazonas (BR)	99	111	103	130	144
Amazonas (PE)	191	205	214	260	320
Aripuanã	229	246	232	247	226
Beni	225	279	309	290	300
Branco	23	27	27	30	40
Coari	163	181	188	226	236
Curuá Una	108	126	113	108	98
Guaporé	132	151	143	120	129
Içá	182	201	217	223	264
Iriti	186	206	202	225	201
Japurá	136	162	166	169	198
Javari	197	184	184	248	288
Ji-Paraná	183	207	201	254	249
Juruá	249	244	252	256	255
Juruena	215	235	242	236	206
Jutai	237	236	258	222	241
Madeira	215	247	255	266	273
Mamoré	200	219	195	159	162
Marañon	147	157	172	198	238
Marg Esq (AM)	175	194	169	186	176
Marg Esq (PA) NE	77	76	80	88	93
Marg Esq (PA) NW	91	89	79	95	92
Napo	113	145	157	208	258
Negro	130	167	176	206	219
Purus	220	270	277	282	287
Solimões	216	228	240	233	242
Tapajós	154	183	179	204	189
Tefé	183	203	254	277	306
Teles Pires	189	215	191	213	222
Ucayali	146	152	187	215	260
Xingu	174	200	165	182	174

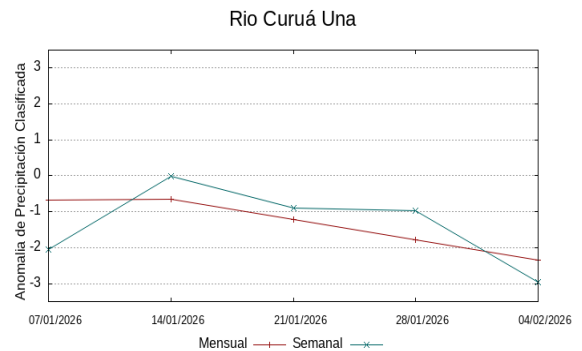
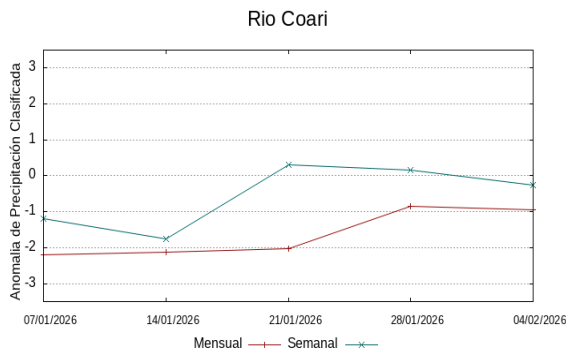
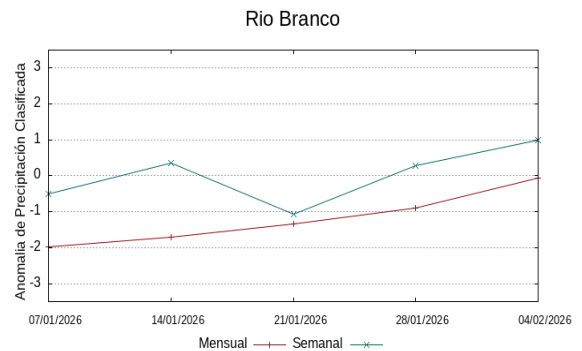
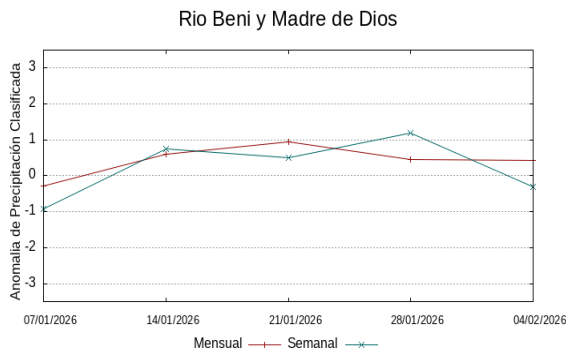
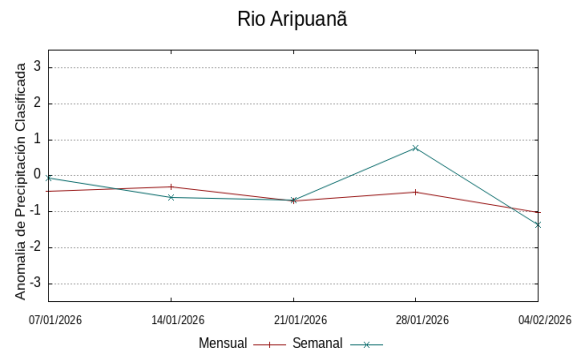
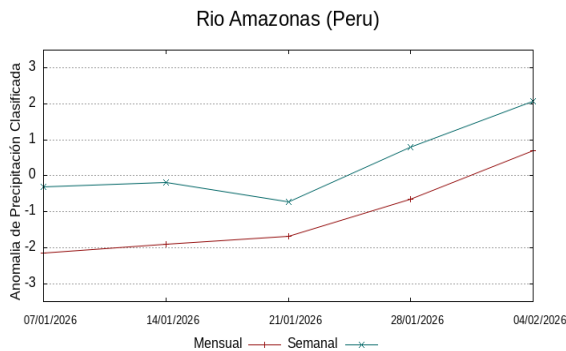
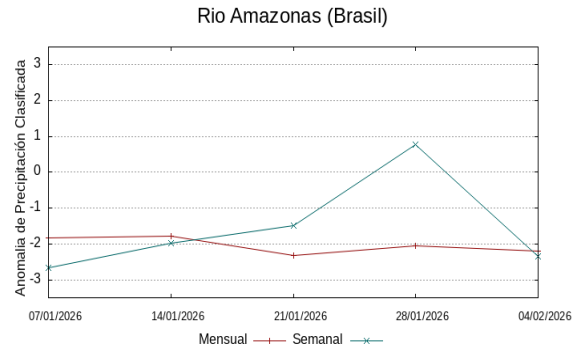
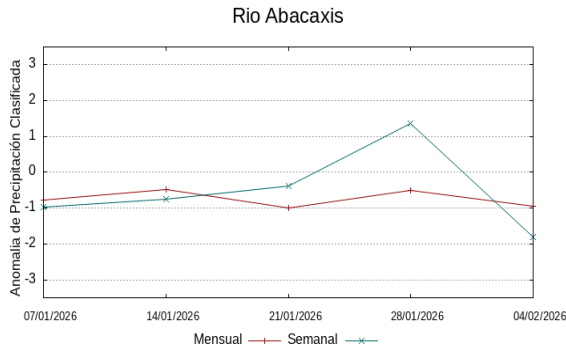
	Anomalía categorizada media en la cuenca				
	07/01/2026	14/01/2026	21/01/2026	28/01/2026	04/02/2026
-0.8	-0.5	-1.0	-0.5	-0.9	
-1.8	-1.8	-2.3	-2.1	-2.2	
-2.1	-1.9	-1.7	-0.7	0.7	
-0.4	-0.3	-0.7	-0.5	-1.0	
-0.3	0.6	0.9	0.5	0.4	
-2.0	-1.7	-1.3	-0.9	-0.1	
-2.2	-2.1	-2.0	-0.9	-1.0	
-0.7	-0.7	-1.2	-1.8	-2.3	
-1.8	-1.3	-1.6	-2.2	-1.6	
-1.6	-1.2	-0.6	-0.4	0.6	
-0.9	-0.9	-0.9	-0.7	-1.4	
-1.9	-1.1	-0.8	-0.3	0.3	
-1.6	-2.0	-1.9	-0.6	0.3	
-1.2	-0.9	-1.1	0.1	-0.1	
-0.1	-0.5	-0.2	0.1	-0.1	
-0.8	-0.6	-0.5	-0.7	-1.3	
-1.5	-1.8	-1.1	-1.3	-1.3	
-0.7	-0.1	0.1	0.4	0.4	
-0.6	-0.3	-0.9	-1.7	-1.5	
0.0	0.2	0.5	1.1	1.8	
0.1	0.4	-0.3	0.1	-0.2	
-1.8	-2.1	-2.2	-2.2	-2.4	
-1.1	-1.3	-1.8	-1.6	-1.8	
-2.3	-1.8	-1.3	0.2	1.1	
-1.8	-0.8	-0.4	0.6	0.8	
-1.1	-0.2	0.0	0.1	0.1	
-1.2	-1.0	-0.7	-0.5	-0.5	
-1.6	-1.2	-1.4	-1.1	-1.6	
-2.2	-2.2	-0.9	-0.2	0.4	
-1.9	-1.4	-1.8	-1.3	-1.1	
-1.2	-1.0	0.0	0.8	1.7	
-1.0	-0.7	-1.6	-1.4	-1.7	

Tabela 2A. Precipitación acumulada en 30 días (mm), datos MERGE/GPM – INPE/CPTEC.

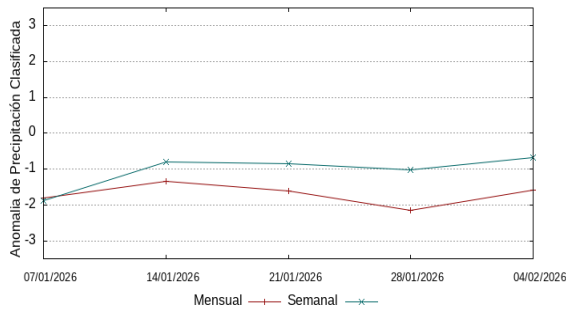
Tabela 2B. Anomalia Categorizada de precipitación por cuantiles.

Comportamiento de las anomalías de 07 y 30 días observadas en semanas anteriores

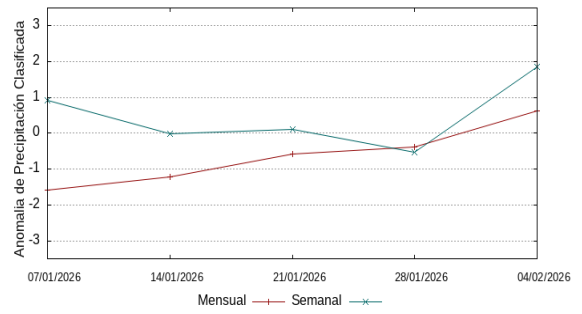
Los siguientes gráficos ilustran el comportamiento del índice de anomalía de precipitación en las últimas semanas, las líneas rojas muestran el comportamiento para periodos de 30 días y las líneas azules el comportamiento para periodos de 7 días, actualizados semanalmente.



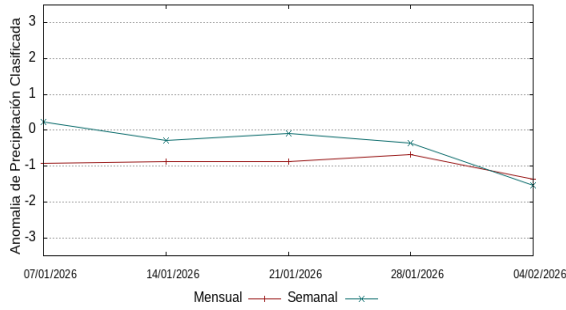
Rio Guaporé y Itenéz



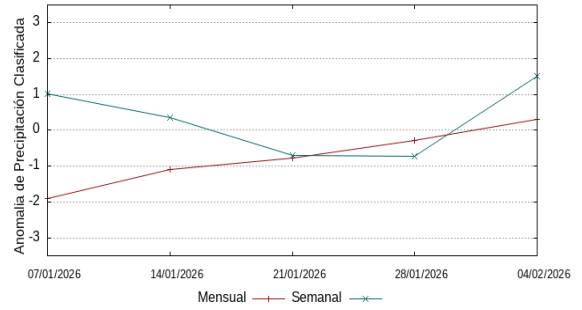
Rio Içá y Putumayo



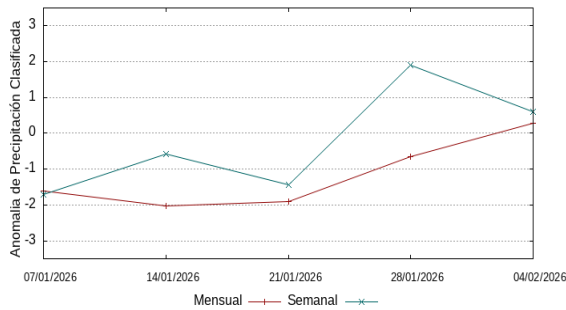
Rio Iriri



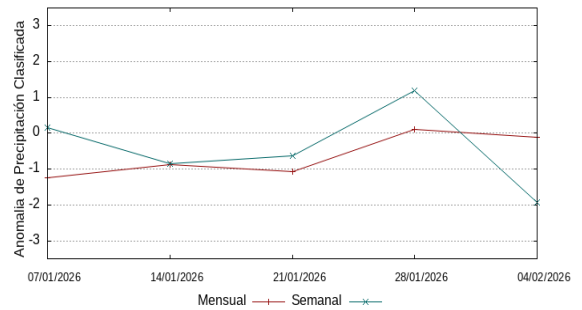
Rio Caquetá y Japurá



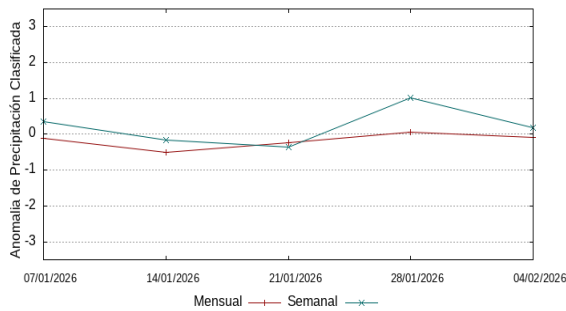
Rio Javari



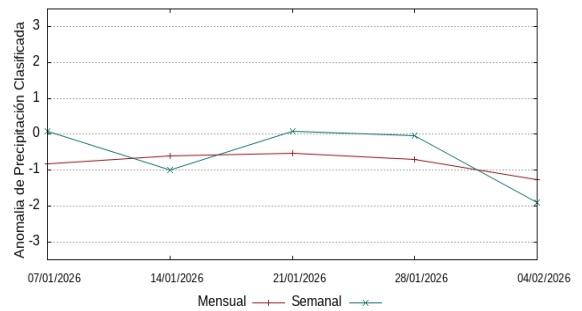
Rio Ji-Paraná



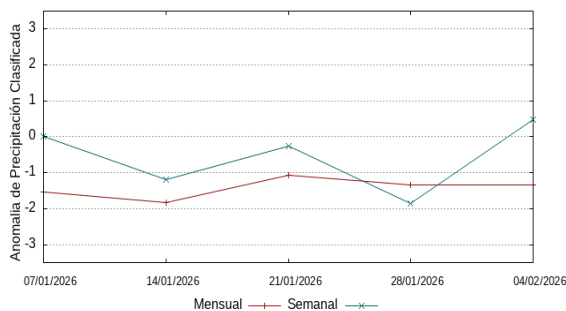
Rio Juruá



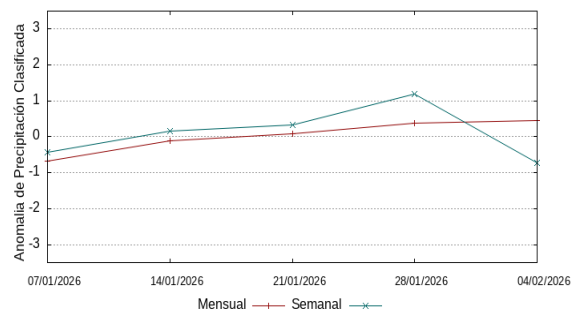
Rio Juruena



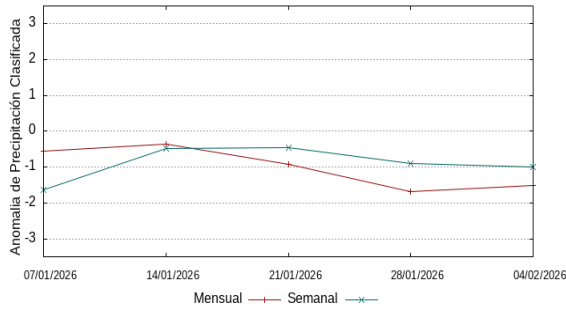
Rio Jutáí



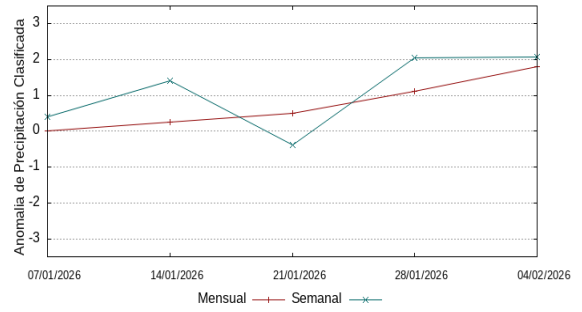
Rio Madeira



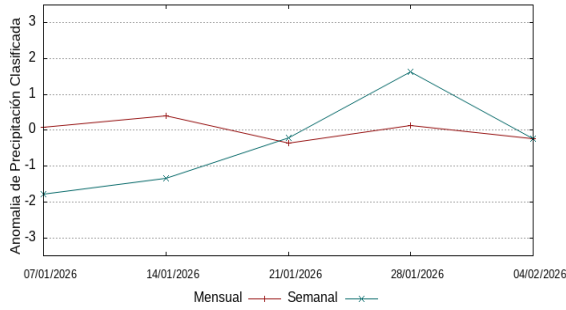
Rio Mamoré



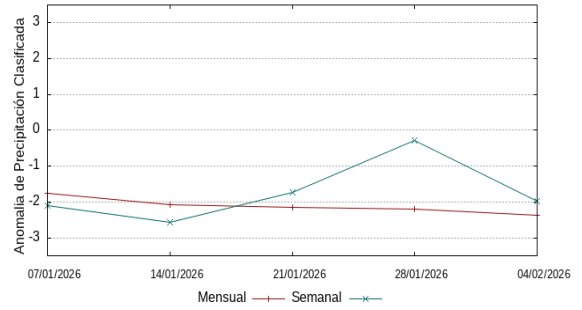
Rio Marañon



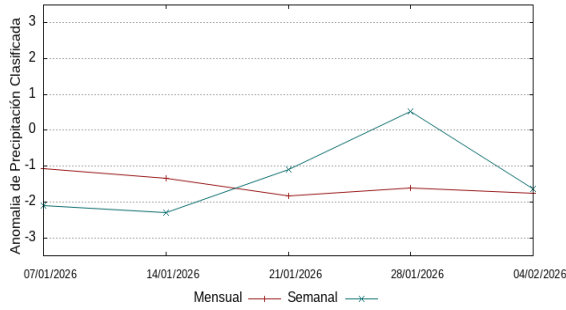
Margem Izquierda del Rio Amazonas - AM



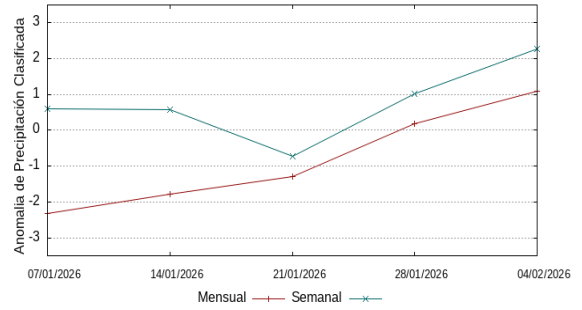
Margem Izquierda del Rio Amazonas NE-PA



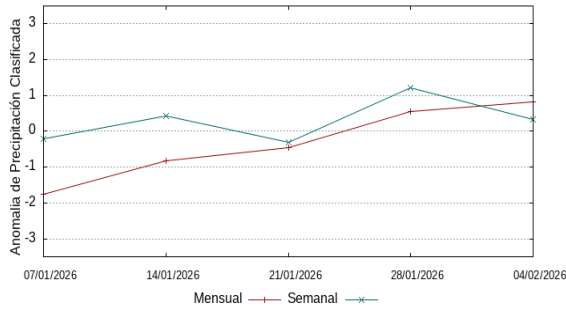
Margem Izquierda del Rio Amazonas NW-PA



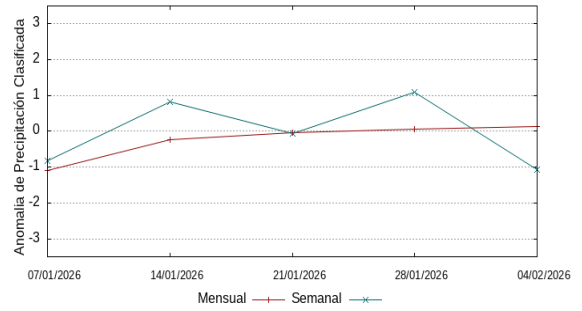
Rio Napo



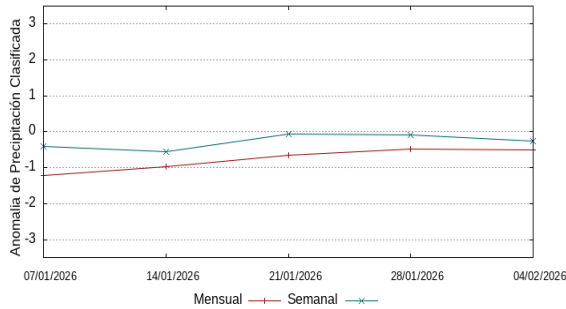
Rio Negro



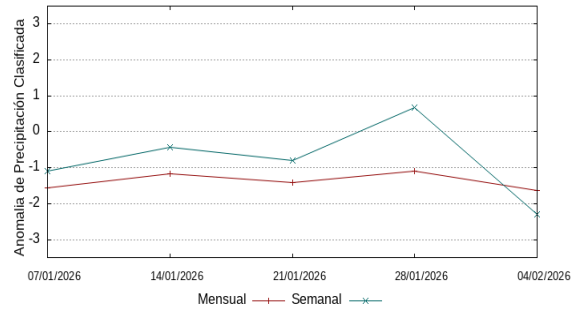
Rio Purus



Rio Solimões (curso principal)



Rio Tapajós



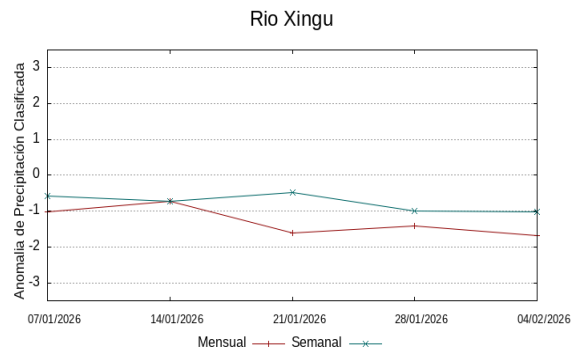
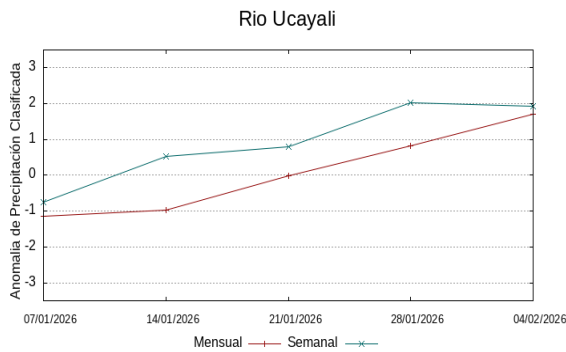
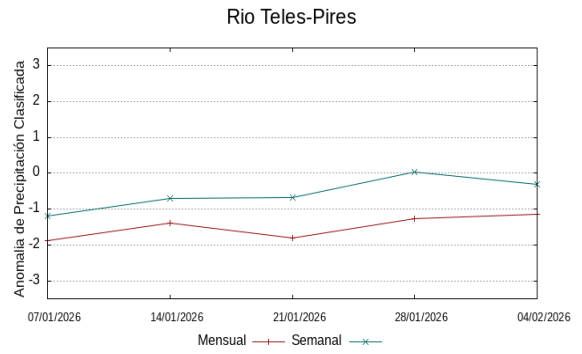
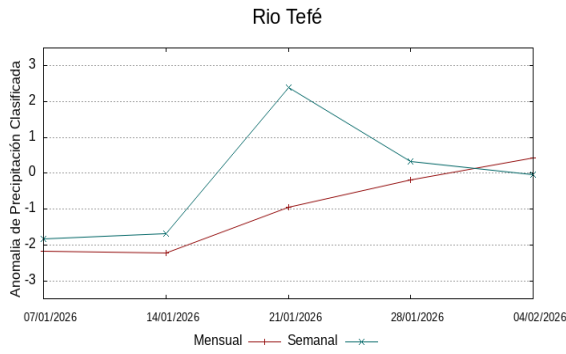
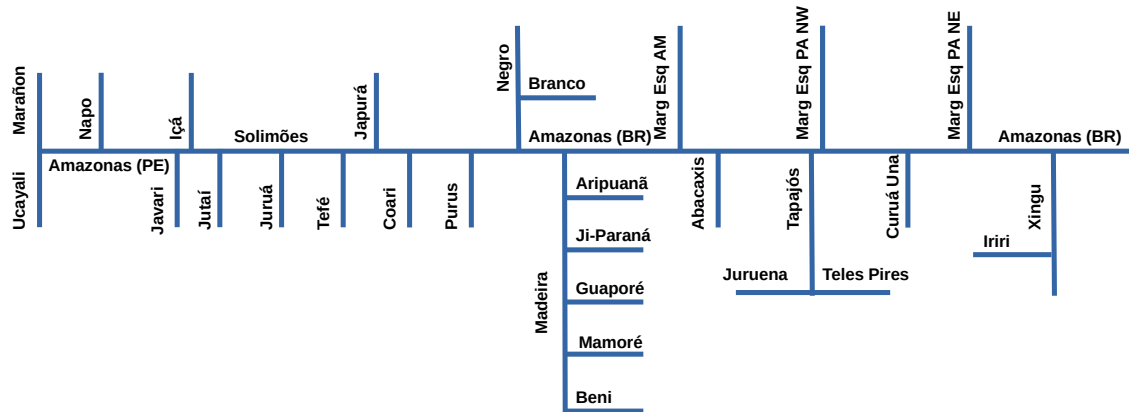


Diagrama unifilar de las cuencas representadas



Renato Cruz Senna

Pesquisador - CODAM

Meteorologista, CREA-AM 2880-D

Registro Nacional 040459935-4

Fone de contato +55 92 3643 3170

